

# 现代汽车发动机

[西德]W.K.施特劳贝尔 著  
范 国 宝 译

人民交通出版社

# 现代汽车发动机

[西德]W.K.施特劳贝尔 著

范国宝译

人民交通出版社

## 内 容 提 要

本书译自西德出版的《Der moderne Automobilmotor》一书，共分六章。书中着重介绍了现代汽车发动机的最新研究成果，内容包括现代汽车发动机本身的结构、电气设备、冷却系统，以及环境保护和交通管理等。

本书可供汽车、发动机设计、制造及使用维修等方面的技术人员和高等院校有关专业的师生参考，也可供有关汽车方面的工人参考。

## 现代汽车发动机

〔西德〕W. K. 施特劳贝尔 著

范 国 宝 译

人民交通出版社出版

新华书店北京发行所发行

各地新华书店经售

河北省宣化印刷厂印

开本：787×1092 1/32 印张：4.375 字数：88 千

1982年5月 第1版

1982年5月 第1版 第1次印刷

印数：0001—13,000册 定价：0.72元

# 目 录

<b>第一章 概论</b> .....	<b>1</b>
<b>第二章 现代汽车发动机的结构（汽油机，活塞-曲柄连杆机构）、存在问题和解决方案</b> .....	<b>2</b>
第一节 总布置—— $S/D$ 比值.....	2
第二节 活塞-曲柄连杆机构 .....	4
第三节 普通发动机的燃烧室、气门布置和气门驱动机构.....	17
第四节 排气净化要点及其对发动机结构的影响.....	37
第五节 轿车用汽油机的增压.....	83
第六节 轿车用柴油机、转子发动机和二冲程发动机.....	85
<b>第三章 发动机电器设备的现状及其发展</b> .....	<b>92</b>
第一节 现代点火装置.....	92
第二节 发电机（照明发电机） .....	94
第三节 电起动装置和蓄电池.....	95
第四节 对发动机电器设备发展的建议.....	98
<b>第四章 冷却</b> .....	<b>99</b>
第一节 液体冷却.....	99
第二节 综合冷却和加热装置.....	105
第三节 风冷.....	107
第四节 风-油冷发动机——结构概要 .....	109
<b>第五章 鉴于环境保护对发动机和附件设计的建议</b>	

——交通管理的影响.....	109
第一节 使车辆更好地适应交通条件（发动机和 传动装置） .....	112
第二节 多能液体冷却.....	114
第三节 轻型结构.....	115
第四节 改善交通管理和计划；推行合理的 排气法规.....	115
第六章 鉴于行车安全，功率发展的极限.....	117
附录.....	124
一、欧洲及其它地区汽车排气法规要点.....	124
二、汽车发动机极限允许扭矩计算实例.....	129
参考文献.....	131

# 第一章 概 论

现代汽车发动机大约已有 90 年的发展史，其主要特点是：通过高速运转和气缸充气的改进，功率提高；可靠性和寿命提高；经济性改善；重量减轻；加工精良，维修方便。

近年来，在美国（加州）发生的情况，使排气净化作为环境保护问题逐渐提到重要地位，甚至成为一个人类是否还能继续生存的问题，虽然到现在为止，还没有一种发动机，在多种用途、经济性、结构紧凑、比重量和加工方便性等方面与内燃机同样优良或有所超过。

尽管现代汽车发动机是一种非常成熟和品质优良的发动机，然而仍值得进一步改进，以便继续改善其经济性，尤其是改善环境保护。本书在叙述汽车发动机的发展现状后，指出了继续发展的可能性，并且进行了评价。这里，将对设计师提供各种不同类型的发动机值得注意的发展成就，而某些成就是新近取得的，但并不详细探讨其理论和结构细节。对这些问题，请参阅参考文献。

当然，排气净化问题占有很大篇幅，并指出了它对发动机结构的影响，包括一些新的设计设想。然后，探讨了与发动机结构有关的领域，并且补充了一些新的建议。最后，第一次评论了发动机功率与行车安全性之间的关系。

## 第二章 现代汽车发动机的结构 (汽油机, 活塞-曲柄连杆 机构)、存在问题和解决方案

### 第一节 总布置—— $S/D$ 比值

首先, 发动机尺寸是重要的, 但是在大多数国家中, 排量而不再是功率, 已成为车辆型别的主要特征。这大体上是合理的, 因为各种不同产品的技术水平在很大程度上是相同的。

发动机排量随着近年来要求的提高, 不断加大, 同时, 至少在欧洲以4缸发动机为主。6缸直列式发动机虽然从很多方面来看是一种理想的发动机, 但是在排量小时(小于2.5升), 不如4缸发动机; 而在排量大时(大于3.0升), 不如V型8缸发动机, V8发动机在美国几乎是一种标准发动机。5缸发动机是一种可用的折衷产品, 因为与直列式6缸发动机相比, 它具有一些结构上的优点(总长, 重量, 成本), 尽管其运转还未达到完全平衡。按兰开斯特(Lancaster)专利制造的三菱-克来斯勒发动机是一种令人感兴趣的结构, 其4缸发动机的平衡通过两根逆向运转的平衡轴来改善(二次力和力矩)。

很多公司生产内部尺寸(诸如活塞、连杆、缸心距、轴承尺寸和配气机构等)大致相同的4缸和6缸发动机, 它们可用同样的机床和夹具加工, 因而可合理地组织生产。只有在同时生产具有同样夹角(通常90°)的4缸或8缸发动机

时，才安排生产省地位和合适的V6发动机。

但是V4发动机是一种不可取的发动机，因为它需要一根逆向旋转、重而昂贵的补偿轴，以消除自由惯性力矩和惯性力。此外，V型发动机总比直列式发动机贵。

然而，在这里应当特别提出一种特殊结构的V型发动机，因为这种发动机在很多方面综合了直列式和V型发动机的优点。这种结构是兰西亚(Lancia)公司研制的，夹角小，本来是为航空发动机设计的，但是以后到1965年，已用于各种不同型式的轿车。这种结构的特点是气缸夹角非常小(约18°)，并且曲柄销布置得可与夹角一起，提供一种正确(相同)的点火次序。往复式发动机几乎不可能找到一种比其更为紧凑的结构型式。

对置式发动机同样令人感兴趣。这种发动机的特点是从四缸起，由于质量平衡良好，运转特别平稳。当然，在应用上置式凸轮轴时，气门驱动机构是相当昂贵的。同时，这种发动机的宽度大，可能有碍安装。这种结构特别适于风冷。在结构长度和高度有限时，例如，在后置式发动机和前轮驱动的车辆上，以及在轻型货车或公共汽车上，适宜采用对置式发动机。

法令要求减少汽车排气对环境的污染，这对将来发动机排量和功率的发展肯定有很大的影响(欧洲共同体各国)。

对总布置，要指出冲程-缸径比 $S/D$ ①。采用短冲程的趋向，从40年代起，已遍及全球，并且由于转速提高和功率加大，虽然是有理的，但是在直列式发动机上却不再采用，而新的发动机结构其冲程又放长了些(图1a)[1]。其主要原因如下：

---

① 用 $K$ 表示。

1) 长冲程燃烧较好，有害物质排放较少（由于膨胀期较长）。

2) 当  $K < 0.8$  时（图 1b），重量显著增加；当  $K \approx 1.2$  时，显然重量最小。

3) 超短冲程发动机结构长度增加。

4) 生产成本显著增加（重量和加工面积均较大）。

因此，采用长冲

程的趋向可能有其原因。然而，新发动机的设计在具有重要意义的  $K$  值的选择上看来相当随意。所以，在下节“活塞-曲柄连杆机构”中，将尝试提出适当选择  $K$  值，以获得最佳的曲柄连杆机构的一些意见。对此，将采用几何学和力学关系作为新的评价标准。

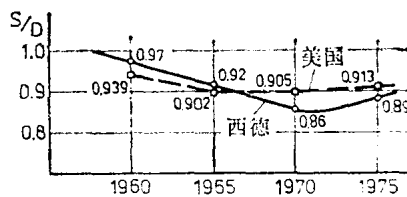


图 1a 美国和西德冲程-缸径比  $\frac{S}{D} = K$  的变化

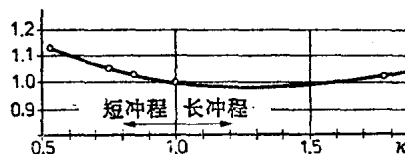


图 1b 发动机的计算重量与冲程-缸径比  $K$  的关系

## 第二节 活塞-曲柄连杆机构

连杆比  $\lambda = \frac{r}{l}$  ( $l$  —— 连杆长度； $r$  —— 冲程的一半)

对于往复式活塞-曲柄连杆机构尺寸的确定是一个特征值。

作者宁愿采用其倒数，即曲柄比  $\bar{\lambda} = \frac{l}{r}$ ，因为对设计师来说，此值表示更明白。两种数值在文献中均出现。但是，如后所述，至少在争取获得最小的尺寸时，在所选择的  $K$  值和

连杆长度之间，存在着某种关系。因为现在能够相当可靠地解决活塞侧压力的承受问题，设计师为了减小往复运动的质量和结构高度，自然对缩短连杆长度总是感兴趣的。美国曲柄比  $\lambda$  的平均值 (1974)  $\approx 3.431$ ；西德 (1975)  $\approx 3.562$ ；趋向：减小。

因此，对一定的缸径-冲程比，连杆可能取得的最小长度，可容易地由下式估算出来：

$$l_{\text{最小}} = S + 0.9D = r \left( 2 + \frac{1.8}{K} \right)$$

式中假定活塞销以下的活塞长度和曲柄销直径各为  $0.6D$  (图 2)。

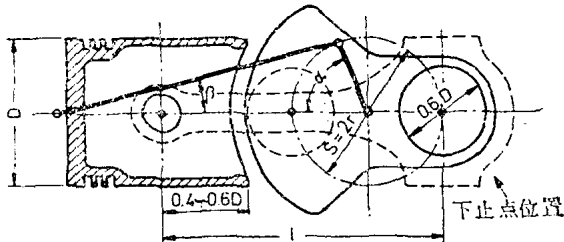


图 2 曲柄连杆机构——最小连杆长度设计

图 3 对所要考虑的  $K$  值范围，示出了相应的最小  $\lambda$  值。为了以后探讨质量平衡，还绘出了与此最小连杆长度相应的活塞最大速度和平均速度的比值  $\frac{C_{\text{最大}}}{C_{\text{平均}}}$ ，以及下止点和上止点活塞加速度的比值  $\frac{b_{K_{\text{下}}}}{b_{K_{\text{上}}}}$  和  $K$  值的关系曲线。

此外，令人感兴趣的还有活塞侧压力  $P_N$  与活塞总作用力  $P_K$  的比值，按各种不同的  $\lambda$  值和  $K$  值示出。各公式和数值的推算如下：

### (1) 最小连杆长度和可能的 $\lambda_{\text{最小}}$

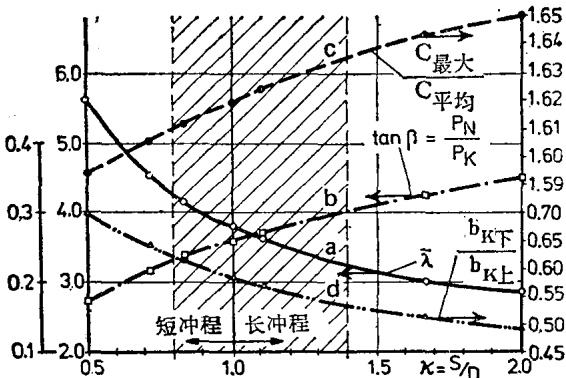


图 3 曲柄连杆机构最小连杆长度与冲程-缸径比  $K$  的特性关系

a-曲柄比  $\lambda$ ; b-活塞侧压力与总作用力之比; c-活塞最大速度与平均速度之比; d-活塞下止点与上止点加速度之比

设：活塞长度  $\approx$  活塞直径  $D$ ;

活塞下部长度  $\approx 0.6D$ ，此值较保守①；

曲柄销直径  $\phi d = 0.6D$ ，此值为正常尺寸。

则当冲程  $S = 2r$  时，可大致算出连杆最小长度：

$$l_{\text{最小}} = 2r + (0.3 + 0.6)D = 2r + 0.9D \text{ (见图 2)}$$

$$\text{由于 } K = \frac{S}{D} = 2 \frac{r}{D}, \quad D = 2 \frac{r}{K},$$

$$\text{所以 } l_{\text{最小}} = 2r + 1.8 \frac{r}{K} = r \left( 2 + \frac{1.8}{K} \right)$$

因而对各种不同的  $K$  值，最小曲柄比：

$$\lambda_{\text{最小}} = \frac{l_{\text{最小}}}{r} = 2 + \frac{1.8}{K}$$

① 按最近的研究，活塞下部长度可减小到  $0.4D$ 。此时，计算公式当为

$\lambda_{\text{最小}} = 2 + \frac{1.4}{K}$ 。所阐述的论点和曲线原则上没有什么改变。

## (2) 活塞速度的比值

活塞在上止点所算得的速度与其平均速度的比值：

$$\frac{C_{\text{最大}}}{C_{\text{平均}}} = \frac{30.000}{19.000} \left( \sin \alpha + \frac{1}{2\lambda} \sin 2\alpha \right)$$

式中： $\alpha$ ——曲柄角； $C_{\text{最大}}$ 大约出现于

$$\tan \beta = \frac{r}{l} = \frac{1}{\lambda} \text{ 时}$$

其中： $\beta$ ——连杆角。因此，对  $C_{\text{最大}}$

$$\alpha = 90^\circ - \beta$$

## (3) 活塞加速度的比值

在止点处活塞加速度的最大值：

$$b_K = \omega^2 r \left( 1 \pm \frac{1}{\lambda} \right)$$

式中： $\omega$ ——角速度；+号适用于上止点，-号适用于下止点。

对于质量平衡很重要的比值是：

$$\frac{b_{K\text{下}}}{b_{K\text{上}}} = \frac{1 - \frac{1}{\lambda}}{1 + \frac{1}{\lambda}}$$

## (4) 活塞作用力的比值

活塞侧压力  $P_N$  与活塞总作用力  $P_K$  的关系为

$$\frac{P_N}{P_K} = \tan \beta$$

式中： $\beta$ ——连杆角。当  $C$  达到其最大值，即  $\alpha + \beta = 90^\circ$

时， $\tan \beta = \frac{1}{\lambda}$  达到最大值。

由这些曲线可得出结论：

(1) 曲柄比  $\lambda$  与冲程-缸径比有关，并且随着冲程的缩

短而增加。因此，活塞的侧压力将过小，而在止点处，活塞的最大加速度总是不同的，这影响往复运动质量的平衡。活塞最大速度与其平均速度的比值  $\frac{C_{\text{最大}}}{C_{\text{平均}}}$  在冲程缩短时，明显下降。但是，短冲程特性指标  $K$  不得小于 0.8。

(2) 长冲程发动机可采用相对较短的连杆，即它不会随着冲程的加长而同等程度地加高。因此，不仅比值  $\frac{C_{\text{最大}}}{C_{\text{平均}}}$ ，而且  $\frac{P_N}{P_K}$  均增加不多，而活塞最大加速度比值显著减小。考虑到燃烧改善，必然倾向于采用长冲程发动机；在设计现代曲柄连杆机构时，这不会有坏处。将来， $K$  到 1.4 的发动机完全会令人感兴趣，因为比功率和高速性不倾向于增大，而宁可减小，以降低有害物质排放量。此外，长冲程发动机较短（有利于安装），并且较轻<sup>[2]</sup>。

直列式发动机的缸体主要用灰铸铁制造；为了缩短结构长度，浇铸在一起的气缸增多。靠气缸上端在缸筒之间开卸载槽，并且（或者）气缸垫具有适当的结构，可防止以前因机械应力和热应力而易于出现的气缸变形。

压铸或硬模铸造的水冷发动机轻金属缸体，由于重量显著减轻而日益令人注意。这种缸体不再装入缸套，而通过表面处理，使铝缸筒的耐磨性提高，以使活塞环和缸筒工作面之间的磨损保持在可允许的限度内。镀铬，特别是镀一种特殊的镍硅层，例如，马来 (Mahle) 公司<sup>[3]</sup>的镍卡西耳 (Nicasil) 作为摩擦层，证明是有效的。当然，在这种设计中，显然存在着生产成本问题。

还应当提一提，在这种轻金属气缸中，裙部镀有特殊镀层（锡铜铁摩擦层）的铝硅活塞和镀铬环一起可直接在预先

经过处理的缸筒中工作。

关于其余的运动件（活塞、连杆和曲轴）的进一步发展，在本书范围内仅能一般性地指出发展现状，因为一方面有些问题（例如，热和强度问题的掌握）可参阅参考文献；另一方面即使取得某些发展成果，也不能期待轿车发动机会有根本性的改革，或者很少有这种可能。

现代活塞的结构特点如下（见图 4a、4b 和图 5a、5b）<sup>[4]</sup>：



图4a 马来公司1960年生产的  
有槽热调节宽面活塞  
直径85毫米，长度95毫米，

$$\frac{L}{D} = 1.12, \text{ 净重460克}$$

活塞单位面积功率： $N_{FK} =$

$$\frac{N_s}{F_K \sqrt{K}}$$

$$K = 0.894$$

$$N_s = 15 \text{ 马力}$$

$$F_K = 56.75 \text{ 厘米}^2$$

$$N_{FK} = 20.97 \text{ 公斤力}\cdot\text{米}/\text{厘米}^2\cdot\text{秒}$$

持久疲劳强度80公斤力/ $\text{厘米}^2$

负荷交变次数 $>10^7$ 次



图4b 马来公司1974年生产的  
无槽热调节活塞  
直径87毫米，长度87毫米，

$$\frac{L}{D} = 1.00, \text{ 重量470克}$$

活塞单位面积功率： $N_{FK} =$

$$\frac{N_s}{F_K \sqrt{K}}$$

$$K = 0.802$$

$$N_s = 25 \text{ 马力}$$

$$F_K = 59.45 \text{ 厘米}^2$$

$$N_{FK} = 35.22 \text{ 公斤力}\cdot\text{米}/\text{厘米}^2\cdot\text{秒}$$

持久疲劳强度120公斤力/ $\text{厘米}^2$

负荷交变次数 $>10^7$ 次，即比图

4a中所示的活塞强度高50%

(1) 强度最大，重量最小；结构设计时，按有限元法进行计算，并进行充分的脉动试验。

(2) 活塞长度现在通常为  $0.85 \sim 0.90D$ ，而在活塞顶部下活塞裙部长度为  $0.4 \sim 0.6D$ 。活塞销直径约  $0.3 \sim 0.4D$ ，亦即加大很多。活塞销朝曲轴旋转反方向偏移  $0.5 \sim 1.5$  毫米，以减少活塞噪声。

(3) 通过铸入钢片补偿温度膨胀，根据膨胀测量利用特殊磨法（球形，椭圆形，锥形）精确磨配

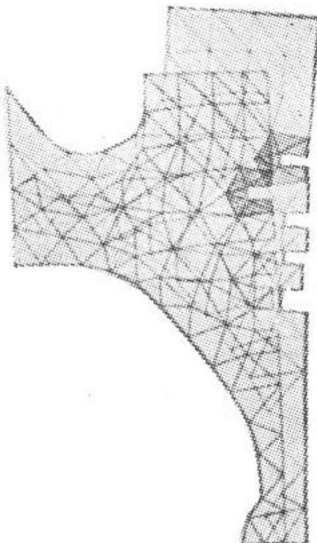
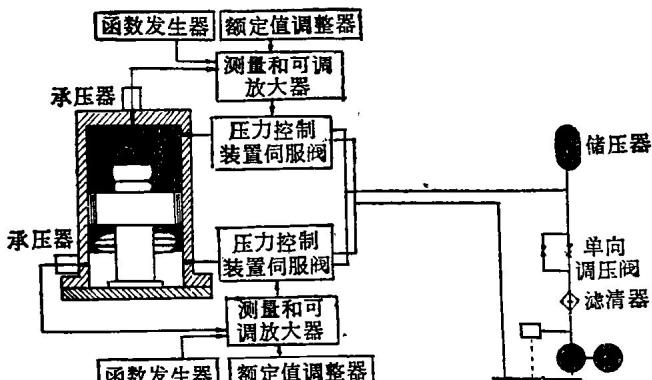


图5a 在工作应力下活塞的有限元和变形简图（引自《马来公司技术论文集》，1973年5月）



液压脉动装置简图

图5b 研究活塞用的液压脉动装置简图（引自《马来公司技术论文集》，1973年5月）

活塞外形，以便在所有运转条件下保持最小活塞间隙（约 $0.0002D$ ）。活塞裙部表面的保护（镀铅，涂石墨）用于改善耐磨性（磨合性）和贮油。因此，为了减少机油消耗，活塞裙部通常无开口。

(4) 活塞单位面积功率按下列马来公司的公式计算：

$$N_{FK} = \frac{N_z}{F_K \sqrt{K}}$$

式中： $N_{FK}$ ——活塞单位面积功率；

$F_K$ ——活塞顶部面积；

$N_z$ ——气缸功率。

(5) 活塞材料通常为含硅的铝合金（例如，含12%硅的马来124），压铸或用硬模铸造。为了提高应力，热锻活塞（例如，轿车柴油机活塞）的采用增多。

(6) 在尽可能产生较小的摩擦作用下（对轿车柴油机，在第一道活塞环槽上铸入衬环），为了使活塞环付<sup>[5]</sup>（活塞环数，形状和表面状态）适应转速和密封应力的提高，采取下述措施：

1) 将活塞环数减少到3根（2根气环，1根油环）。

2) 采用扭曲形高应力气环，其断面呈长方形，可加快磨合；尺寸和应力按德国工业标准 DIN 70910。为了防腐蚀和延长寿命，进行表面处理（镀铬）；材料为耐热镍铬铸铁（离心浇铸）。倾向于采用窄环（1.5毫米）。

3) 油环装有衬簧以提高其为形状所决定的较低的内应力，并使之均匀分布。

马来公司新发展的摆动式活塞令人感兴趣<sup>[4]</sup>（图6），这种活塞的裙部是和头部分开的，其密封作用和力的传递由头部承担，而滑动导向由裙部承担。因此，可以减小活塞间隙，这对解决密封和活塞环问题（柴油机）是重要的。

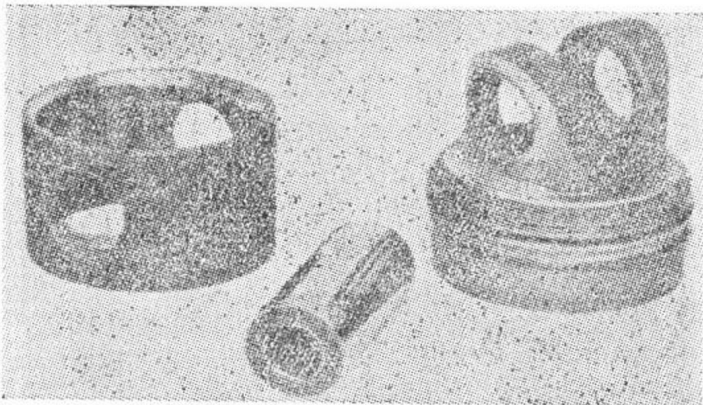


图 6 摆动式活塞的零件（引自《马来公司技术论文集》1973年5月）

关于连杆和曲轴的结构，其形状的确定主要取决于两个因素（用有限元法进行形状的计算）：允许疲劳强度；在连续自动机床上容易制造。

在连杆（图7）

上，应引起注意的是H形杆身与连杆小头和大头之间过渡要非常圆滑，以均匀分配压力和拉力。作为连杆螺栓，以采用双头螺栓或比较好的带帽螺钉（带定位面和弹性杆颈）为宜，因为力线破坏最少，并且可以避免缺口效应对连杆的不良影响。

在连杆大头上应用内六方孔非常有利。螺栓或螺母不需要采

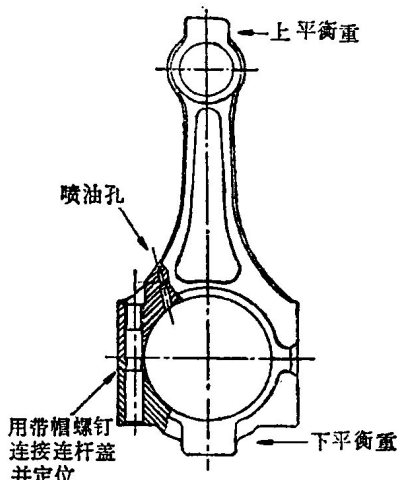


图 7 现代大量生产用的连杆重量平衡，采用带帽螺钉固定连杆盖（奥贝尔公司资料）